

М. Ю. ФИЛИМОНОВ

СОПРЯЖЕНИЕ СИНГУЛЯРНЫХ ЛИНИЙ
В ДИФФЕРЕНЦИАЛЬНОЙ ИГРЕ

Рассматривается дифференциальная игра на плоскости с нефиксированным временем окончания. Оптимальная стратегия первого игрока определяется специальной линией, разбивающей плоскость на две части. Согласно терминологии Р. Айзекса [1], некоторые дуги линии являются барьерами, остальные — эквивокальными кривыми. В книге Р. Айзекса поставлен вопрос [1, стр. 358]: всегда ли эквивокальная кривая гладко сопрягается с барьером? В настоящей работе дается отрицательный ответ на этот вопрос.

§ 1. Пусть движение конфликтно-управляемой системы на плоскости описывается дифференциальным уравнением

$$z_1 = v - z_2, \quad (1.1)$$

$$z_2 = u.$$

Здесь u, v — управляющие воздействия первого и второго игроков, стесненные ограничениями

$$|u| \leq \mu, \quad 0 \leq v \leq \nu.$$

Первый игрок стремится перевести систему (1.1) в заданную точку $m = (0, c)$ за наименьшее время. Интересы второго игрока противоположны.

Опишем формализацию дифференциальной игры [2] за первого игрока. Под допустимыми стратегиями (управлениями обратной связи) первого игрока будем понимать произвольные функции $U: (t, z) \rightarrow U(t, z)$, удовлетворяющие условию $|U(t, z)| \leq \mu$. Символом $y_\Delta(\cdot, z_0, U, v(\cdot))$ обозначим ломаную Эйлера, порожденную начальной точкой z_0 , стратегией U , дискретом $\Delta > 0$ и измеримой функцией времени $v(\cdot)$, удовлетворяющей при любом t условию $0 \leq v(t) \leq \nu$. Начальный момент t_0 условимся считать равным 0.

Скажем, что стратегия U для начальной точки z_0 гарантирует окончание игры к моменту ϕ , если по любому $\varepsilon > 0$ найдется такое $\delta > 0$, что при любых $\Delta \leq \delta$, $v(\cdot)$ ломаная Эйлера $y_\Delta(\cdot,$

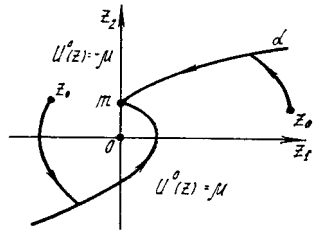


Рис. 1.

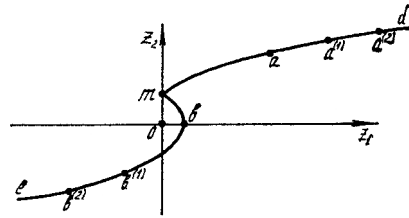


Рис. 2.

$z_0, U, v(\cdot)$ попадает в ε -окрестность точки m на отрезке $[0, \theta]$. Точную нижнюю грань таких θ (при фиксированных U, z_0) обозначим через $\theta_U(z_0)$.

Положим $T^0(z_0) = \min_U \theta_U(z_0)$, если $\theta_U(z_0) < \infty$ хотя бы при одной стратегии U , и $T^0(z_0) = \infty$ в противном. Стратегию, на которой достигается минимум, назовем оптимальной стратегией первого игрока, соответствующей начальной точке z_0 . Стратегию U^0 назовем оптимальной универсальной [3, 7], если она доставляет минимум для всех точек z_0 , где $T^0(z_0) < \infty$.

При $v=0$ система (1.1) переходит в канонический пример теории управления

$$\dot{z}_1 = -z_2, \quad \dot{z}_2 = u, \quad |u| \leq \mu,$$

где цель управления — минимизировать время перевода в заданную точку m . В этом примере оптимальное управление обратной связи определяется линией α (рис. 1), разбивающей плоскость на две части и состоящей из кусков парабол

$$z_1 = (c^2 - z_2^2)/2\mu, \quad z_1 = (z_2^2 - c^2)/2\mu.$$

Оптимальное управление равно μ ниже линии α и $-\mu$ — выше этой линии. Типичные оптимальные траектории показаны на рис. 1.

Если $v > 0, c \leq v$, то, как следует из [4], $T^0(z_0) = \infty$ для любой начальной точки $z_0 \neq m$. В связи с этим будем считать $c > v > 0$.

§ 2. В работах [5, 6] описано решение дифференциальной игры с неполной информацией, которая переходит в задачу § 1, если предположить, что первый игрок в каждый момент t имеет точную информацию о фазовых координатах системы. При этом основную роль для определения оптимальной стратегии первого игрока играет линия γ (рис. 2), разбивающая плоскость на две части.

Дуга mb (ma) линии γ описывается уравнением $z_1 = -(c^2 - z_2^2)/2\mu$ ($z_1 = (z_2^2 - c^2)/2\mu$) и является фазовой траекторией системы (1.1) при $v \equiv 0, u \equiv \mu$ ($u \equiv -\mu$), проходящей через точку m . Кривые ad, be удовлетворяют следующим свойствам (которые и лежат в основе их определения).

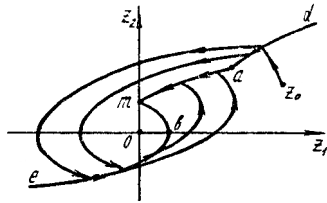


Рис. 5.

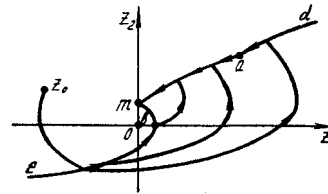


Рис. 6.

пускается зависимость очередного дискрета времени (на котором управление первого игрока держится постоянным) от позиции, где оно выбирается. Можно, однако, показать, что в рассматриваемом примере такое отличие несущественно и при формализации, описанной в § 1, оптимальная стратегия первого игрока также определяется линией γ . А именно $U^0(z) = \mu$, если z лежит ниже линии γ ; $U^0(z) = -\mu$, если z лежит выше линии γ . На линии γ , за исключением дуги mb , значение $U^0(z)$ можно выбирать произвольно, лишь бы выполнялось неравенство $|U^0(z)| \leq \mu$. На дуге mb следует положить $U^0(z) = \mu$. Стратегия U^0 не зависит от начальной точки и является, таким образом, универсальной. Заметим также, что она есть функция лишь фазовой переменной z и не зависит от t .

Оптимальное время $T^0(z_0)$ конечно для любой начальной точки z_0 на плоскости. Функция $z_0 \rightarrow T^0(z_0)$ непрерывна на всей плоскости, за исключением дуги bma (точки b и a не включаются) линии γ . Согласно терминологии Р. Айзекса [1], дуга bma — барьер.

Для z_0 на дуге ma время $T^0(z_0)$ вычисляется по формуле

$$T^0(z_0) = \frac{z_{02} - c}{\mu} + \frac{\nu}{\mu} \ln \frac{z_{02} - \nu}{c - \nu}$$

и является временем движения системы (1.1) по дуге ma от точки z_0 до точки m при $v \equiv \nu$. Такое движение принадлежит пучку $X(z_0)$ конструктивных движений [2], порожденных начальной точкой z_0 и оптимальной стратегией U^0 .

Для любой точки z_0 плоскости рассмотрим пучок $X(z_0)$ конструктивных движений и в нем выделим движения, время перехода которых из z_0 в m равно $T^0(z_0)$. Пучок таких движений обозначим через $X^0(z_0)$. Оказывается, что для всякой точки z_0 на барьере bma пучок $X^0(z_0)$ состоит только из одного движения, но это не обязательно для других точек z_0 плоскости. На рис. 5 показаны траектории пучка $X^0(z_0)$ для точки z_0 , лежащей ниже кривой γ , а на рис. 6 — траектории пучка $X^0(z_0)$ для точки z_0 выше кривой γ . Расщепление движений происходит на кривых ad и be . При расщеплении одно из движений идет по кривой, другое сходит с нее. По терминологии Р. Айзекса, кривые ad , be являются эквивокальными.

сечения с кривой l_2 траектории движения из точки x при $v \equiv 0$, $u \equiv -\mu$. Символом g обозначим точку пересечения с кривой ta траектории системы (1.1) из точки y в силу $v \equiv v$, $u \equiv \mu$ (рис. 7). Потребуем, чтобы выполнялось соотношение

$$\hat{T}^{(1)}(x) = \hat{T}^{(2)}(x), \quad (3.2)$$

где $\hat{T}^{(1)}(x)$, $\hat{T}^{(2)}(x)$ определяются аналогично $T^{(1)}(x)$, $T^{(2)}(x)$ (§ 2) при замене кривой γ на кривую $\hat{\gamma}$, состоящую из кривых l_2 , bta , l_1 .

Найдем координаты точек y и g . Точка y является точкой пересечения параболы (3.1) с параболой

$$z_1 = \frac{z_2^2 - x_2^2}{2\mu} + x_1. \quad (3.3)$$

Приравнявая (3.1) и (3.3), получаем

$$y_2 = -\sqrt{(x_2^2 - 2\mu x_1 + c^2 - k)/2}. \quad (3.4)$$

Поскольку вторая координата y_2 точки y связана с первой координатой y_1 соотношением (3.1), то

$$g_2 = (v + \sqrt{v^2 - 4vy_2 + 4c^2 - 2k})/2. \quad (3.5)$$

Распишем равенство (3.2):

$$\int_{a_2}^{x_2} \frac{1}{z_2 - v} \frac{d\varphi(z_2)}{dz_2} dz_2 + \frac{a_2 - g_2}{\mu} + \frac{v}{\mu} \ln \frac{a_2 - v}{g_2 - v} = \frac{x_2 - y_2}{\mu} + \frac{g_2}{\mu} - \frac{y_2}{\mu}. \quad (3.6)$$

Подставим выражения для y_2 , g_2 из (3.4) и (3.5) в равенство (3.6):

$$\begin{aligned} & \int_{a_2}^{x_2} \frac{1}{z_2 - v} \frac{d\varphi(z_2)}{dz_2} dz_2 + \frac{a_2}{\mu} + \\ & + \frac{v}{\mu} \ln \frac{2(a_2 - v)}{\sqrt{v^2 + 4v \sqrt{(x_2^2 - 2\mu x_1 + c^2 - k)/2} + 4c^2 - 2k} - v} = \\ & = \frac{x_2 + 2 \sqrt{(x_2^2 - 2\mu x_1 + c^2 - k)/2}}{\mu} + \\ & + \frac{v + \sqrt{v^2 + 4v \sqrt{(x_2^2 - 2\mu x_1 + c^2 - k)/2} + 4c^2 - 2k}}{\mu}. \end{aligned}$$

Дифференцируя последнее уравнение по x_2 и заменяя x на z , получаем

$$\begin{aligned} \frac{1}{z_2 - v} \frac{d\varphi(z_2)}{dz_2} - \frac{v^2 \left(z_2 - \mu \frac{d\varphi(z_2)}{dz_2} \right)}{\mu (R_2(z_1, z_2) - v) R_2(z_1, z_2) R_1(z_1, z_2)} = \\ = \frac{1}{\mu} + \frac{z_2 - \mu \frac{d\varphi(z_2)}{dz_2}}{\mu R_1(z_1, z_2)} + \frac{v \left(z_2 - \mu \frac{d\varphi(z_2)}{dz_2} \right)}{\mu R_1(z_1, z_2) R_2(z_1, z_2)}, \end{aligned} \quad (3.7)$$

где

$$\begin{aligned} R_1(z_1, z_2) &= \sqrt{(z_2^2 - 2\mu z_1 + c^2 - k)/2}, \\ R_2(z_1, z_2) &= \sqrt{v^2 + 4v \sqrt{R_1(z_1, z_2)} + 4c^2 - 2k}. \end{aligned}$$

Равенство (3.7) перепишем в виде

$$\frac{dz_1}{dz_2} = \frac{z_2}{\mu} - \frac{v}{\mu} + \frac{v(z_2 - v)}{\mu (R_1(z_1, z_2) - v + z_2 - v R_1(z_1, z_2)/R_2(z_1, z_2))}. \quad (3.8)$$

Дифференциальное уравнение (3.8) описывает кривую l_1 .

Для того чтобы кривая l_1 отходила от параболы $z_1 = (z_2^2 - c^2)/2\mu$ (дугой которой является барьер ta) вверх под ненулевым углом, необходимо и достаточно выполнение неравенства

$$-\frac{v}{\mu} + \frac{v(z_2 - v)}{\mu (R_1(z_1, z_2) - v + z_2 - v R_1(z_1, z_2)/R_2(z_1, z_2))} < 0. \quad (3.9)$$

Подставляя $z_1 = (z_2^2 - c^2)/2\mu$ в неравенство (3.9) и сокращая второе слагаемое на $z_2 - v$ ($z_2 > v$), получаем

$$-\frac{v}{\mu} + \frac{v}{\left(1 + \frac{\sqrt{c^2 - k/2}}{z_2 - v} - \frac{v \sqrt{c^2 - k/2}}{(z_2 - v) \sqrt{v^2 + 4v \sqrt{c^2 - k/2} + 4c^2 - 2k}} \right) \mu} < 0.$$

Для выполнения этого неравенства необходимо и достаточно, чтобы

$$1 - \frac{v}{\sqrt{v^2 + 4v \sqrt{c^2 - k/2} + 4c^2 - 2k}} > 0. \quad (3.10)$$

Поскольку $\sqrt{v^2 + 4v \sqrt{c^2 - k/2} + 4c^2 - 2k} > v$, то неравенство (3.10) справедливо. Следовательно, кривая l_1 примыкает к барьеру под ненулевым углом. Теперь докажем, что верхняя эквивокальная кривая ad отходит от барьера ta под неменьшим углом, чем

кривая l_1 . Пусть кривая ad описывается уравнением $z_1 = \psi(z_2)$. Нам нужно доказать неравенство

$$\left. \frac{d\psi(z_2)}{dz_2} \right|_{z_2=a_2} \geq \left. \frac{d\psi(z_2)}{dz_2} \right|_{z_2=a_2}. \quad (3.11)$$

Предположим противное. Тогда вблизи точки a кривая ad идет ниже кривой l_1 . Выберем точку $q^{(1)}$ ($q_2^{(1)} > a_2$) достаточно близко к a . По $q^{(1)}$ определим точки $q^{(2)}$, $q^{(3)}$, $q^{(4)}$ (рис. 8). Очевидно, время оборота $\hat{t}[q^{(1)}, q^{(3)}] = \hat{T}^{(2)}(q^{(1)}) - \hat{T}^{(1)}(q^{(3)})$ больше времени оборота $t[q^{(2)}, q^{(4)}] = T^{(2)}(q^{(2)}) - T^{(1)}(q^{(4)})$, т. е. справедливо неравенство

$$\hat{t}[q^{(1)}, q^{(3)}] > t[q^{(2)}, q^{(4)}]. \quad (3.12)$$

С другой стороны, можно записать неравенства

$$\bar{t}[q^{(2)}, q^{(4)}] > \bar{t}[q^{(2)}, q^{(3)}] > \tilde{t}[q^{(1)}, q^{(3)}], \quad (3.13)$$

где через $\bar{t}[q^{(2)}, q^{(4)}]$ ($\bar{t}[q^{(2)}, q^{(3)}]$) обозначено время движения по кривой mad при $v \equiv v$ от точки $q^{(2)}$ до точки $q^{(4)}$ ($q^{(3)}$), равное $T^{(1)}(q^{(2)}) - T^{(1)}(q^{(4)})$ ($T^{(1)}(q^{(2)}) - T^{(1)}(q^{(3)})$), а через $\tilde{t}[q^{(1)}, q^{(3)}]$ — время движения по кривым ma , l_1 при $v \equiv v$ от точки $q^{(1)}$ до точки $q^{(3)}$, равное $\hat{T}(q^{(1)}) - \hat{T}^{(1)}(q^{(3)})$. Второе неравенство в (3.13) вытекает из того, что изменение первой координаты при движении по кривым $aq^{(1)}$, $aq^{(2)}$ описывается соотношением $\dot{z}_1 = v - z_2$, кривая $aq^{(1)}$ лежит выше кривой $aq^{(2)}$ и $q_1^{(1)} = q_1^{(2)}$ (рис. 8). Из свойств кривых ad , l_1 следует, что

$$\bar{t}[q^{(2)}, q^{(4)}] = t[q^{(2)}, q^{(4)}], \quad \tilde{t}[q^{(1)}, q^{(3)}] = \hat{t}[q^{(1)}, q^{(3)}]. \quad (3.14)$$

Из соотношений (3.13) и (3.14) вытекает неравенство $\hat{t}[q^{(1)}, q^{(3)}] < t[q^{(2)}, q^{(4)}]$. Таким образом, получили противоречие с (3.12). Оно и доказывает справедливость неравенства (3.11). Следовательно, верхняя эквивокальная кривая ad отходит от барьера вверх под ненулевым углом.

Таким образом, дан отрицательный ответ на вопрос из книги Р. Айзекса.

ЛИТЕРАТУРА

1. Айзекс Р. Дифференциальные игры. М.: Мир, 1967. 479 с.
2. Красовский Н. Н., Субботин А. И. Позиционные дифференциальные игры. М.: Наука, 1974. 456 с.
3. Красовский Н. Н. Дифференциальные игры. Аппроксимационные и формальные модели.— Матем. сб., 1978, т. 107, вып. 4, с. 541—571.
4. Пацко В. С. Дифференциальная игра уклонения на плоскости.— Прикл. матем. и мех., 1977, т. 41, вып. 4, с. 604—608.
5. Пацко В. С. Модельный пример игровой задачи преследования с неполной информацией. I.— Дифференц. уравнения, 1971, т. 7, № 3, с. 424—435.
6. Пацко В. С. Модельный пример игровой задачи преследования с неполной информацией. II.— Там же, 1972, т. 8, № 8, с. 1423—1435.
7. Субботина Н. Н. Универсальные оптимальные стратегии в дифференциальных играх.— Там же, 1983, т. 19, № 11, с. 1890—1896.

Рисунки в напечатанном тексте получились малого размера.
Поэтому ниже приведены оригиналы рисунков 3-8.

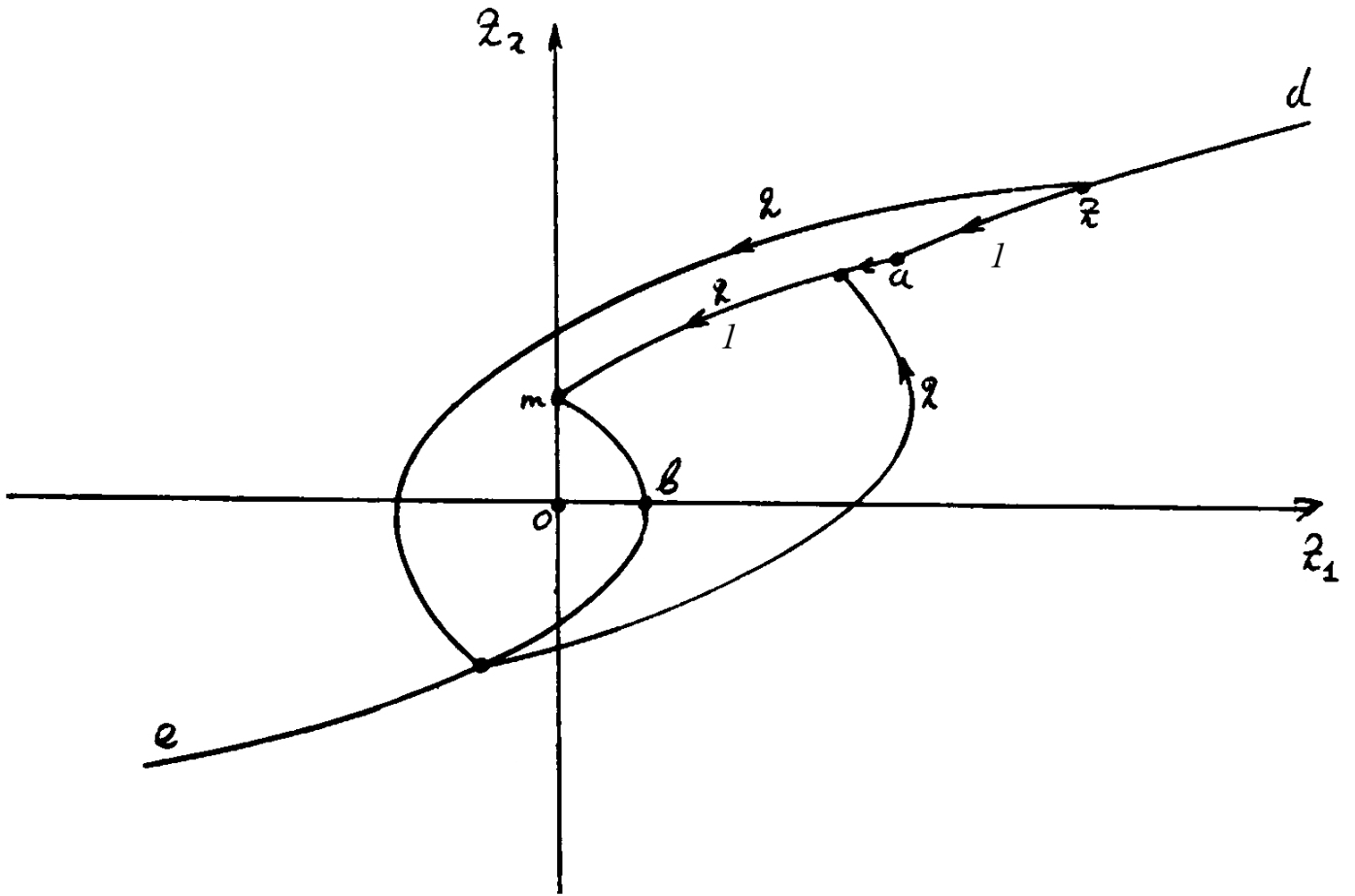


Рис. 3

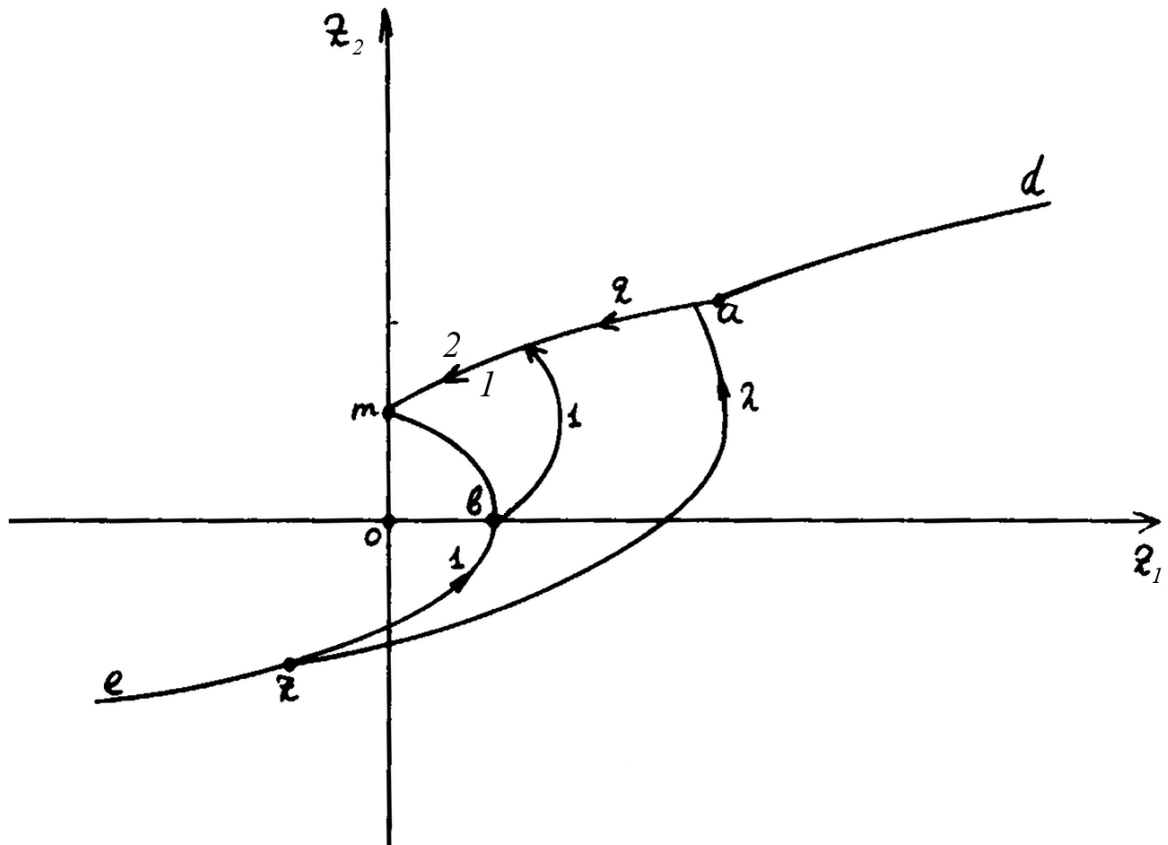


Рис. 4

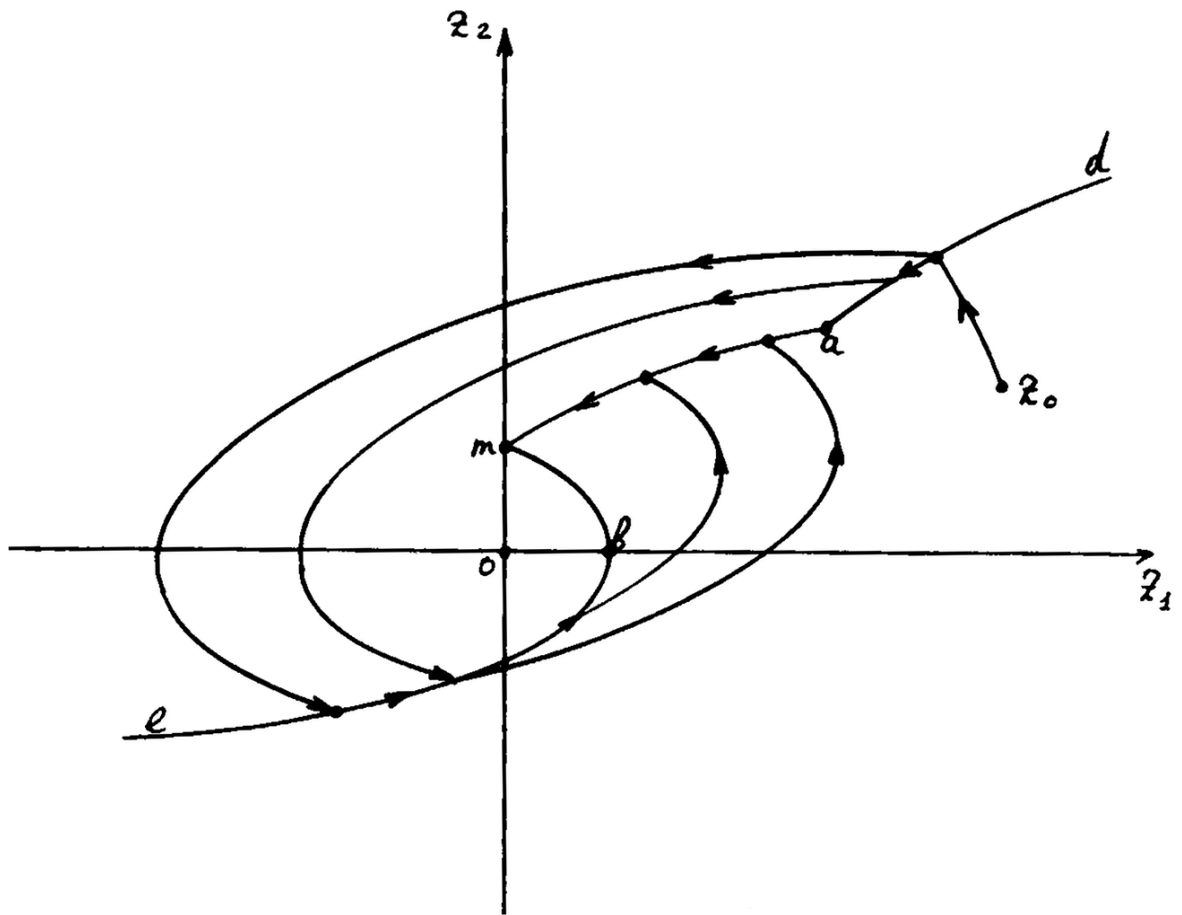


Рис. 5

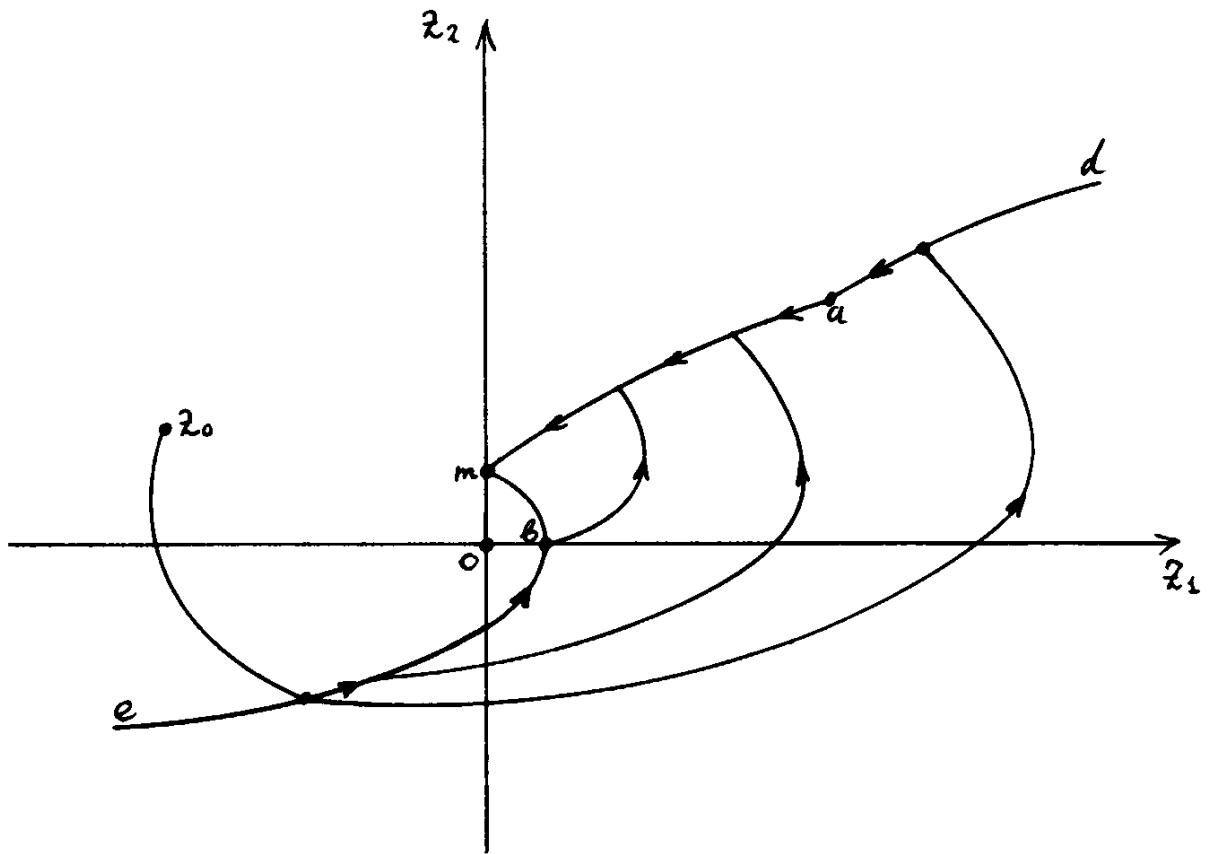


Рис. 6

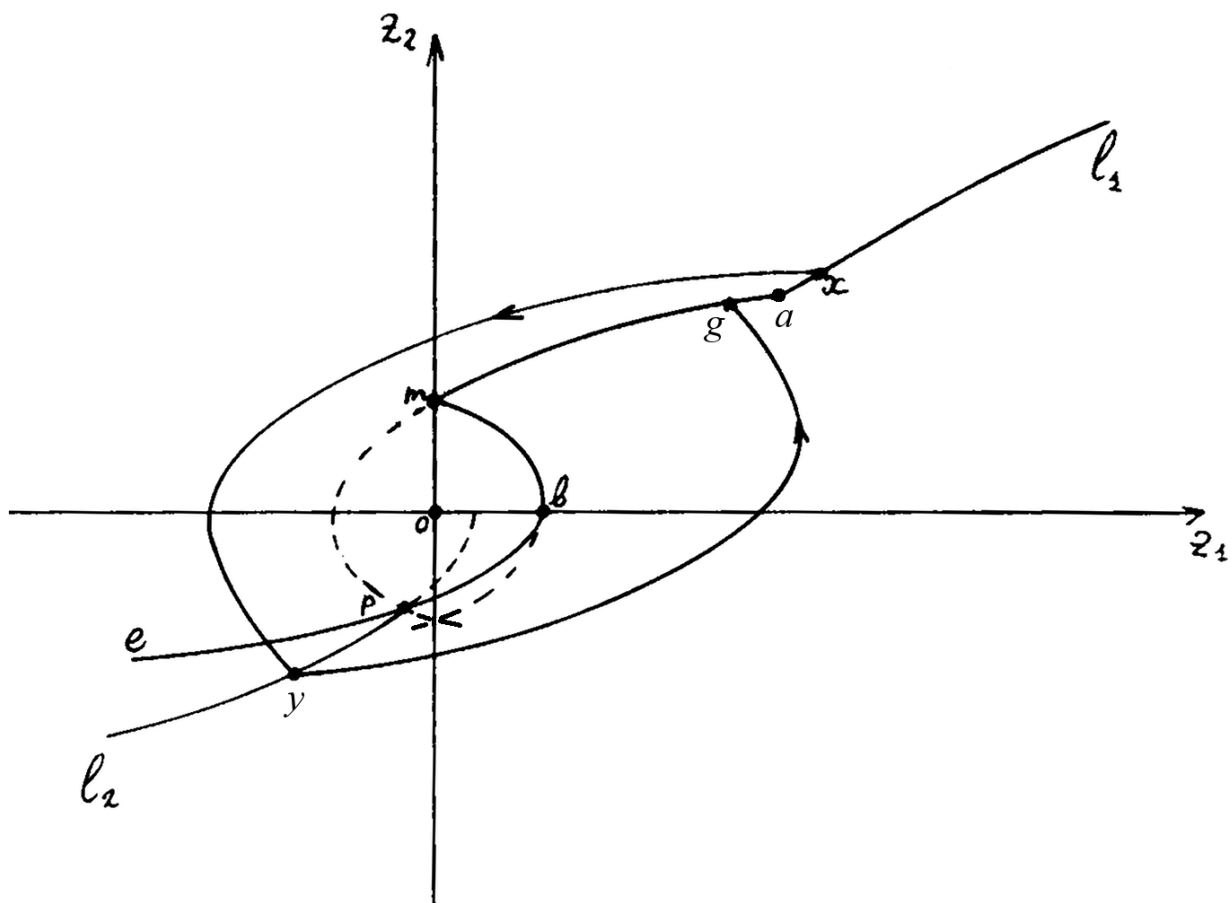


Рис. 7

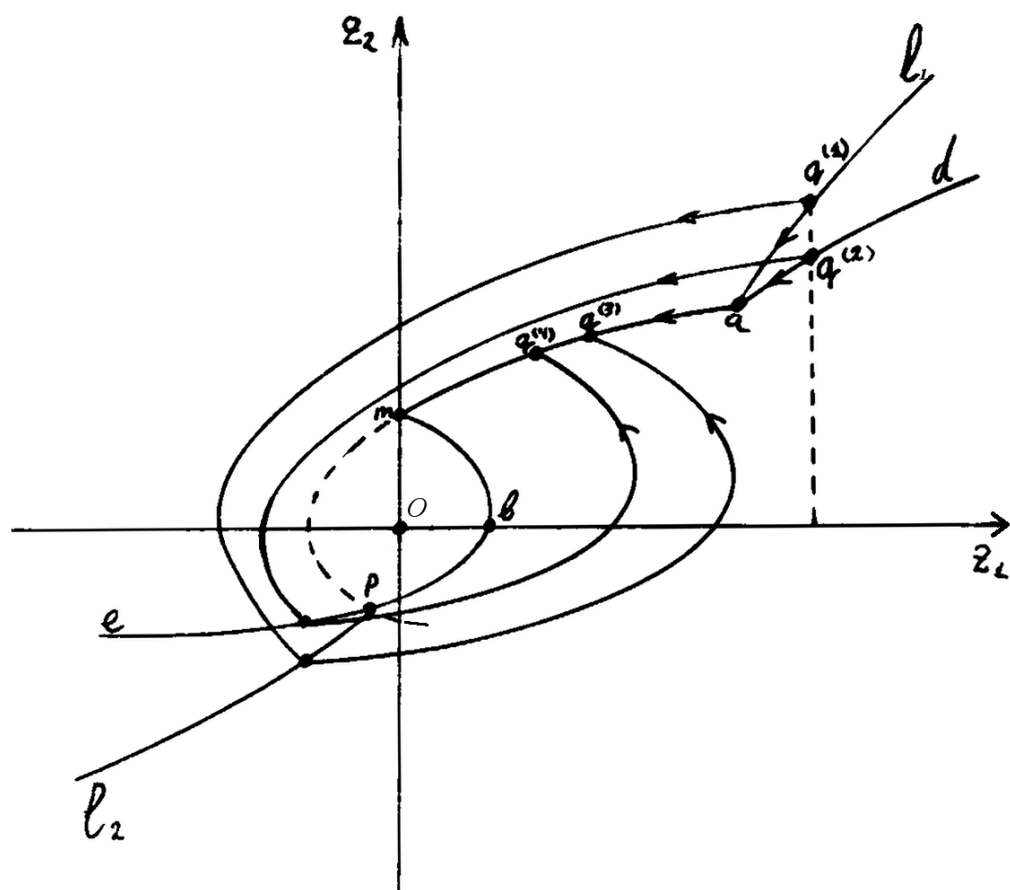


Рис. 8